

論文

Stainless 鋼 傳熱管에 있어서 涡電流 信号強度와 缺陷크기와의 관계에 관한 研究

* 韓 應 教 ** 嚴 浩 變 ** 朴 翼 根 *** 崔 明 植

1987년 3월 3일 접수

(A study on the Relationship between the
Size of Defect and the Intensity of Eddy
Current Signal in Heat Exchanging
Tube made of STS 304.)

E. K. Han, H. S. Eom, I. G. Park, M. S. Choi

ABSTRACT

Eddy Current Examination is expected as the effective technique for nondestructive inspection of steam generator and various kinds of heat exchanging tubes made of STS - 304.

In Case of E. C. T, a study on the various factors which have an effect on coil impedance is very important to the sensitivity of defect detection and the ratio of signal to noise.

Therefore, this study analyzed coil impedance by means of the variational principle, the minimized theory of energy functional and the application of Finite Element Method.

Really by using E. C. T, the relationship between the size of defects and the intensity of Eddy Current Signals can be obtained.

Signal intensity becomes maximum at certain frequency.

This frequency is affected by the characteristics and the position of signal sources.

* 漢陽大学校 精密機械工學科 教授

** 漢陽大学校 大學院 精密機械工學科

*** 韓國 에너지 研究所

NOMENCLATURE

A_i, A_m, A_n	: Vector potential in Triangular element node (i, m, n) [wb/m]
A_{ci}	: Vector potential in the i th Triangular element.
B	: Flux density (wb/m ²)
E	: Intensity of Eddy Current Signal (volt)
F	: Energy Functional
H	: Intensity of Magnetic field (N/wb)
J	: External forcing Current density (Amp/m ²)
J_i	: Induced Current density. (Amp/m ²)
N_p	: Shape function
N_s	: Uniform turn density (turn/m ²)
T	: Thickness of Test piece
Z_i	: Impedance of a Filamentary Circular loop of Radius r_{ci}
Z_p	: Probe Coil Impedance
σ	: Conductivity (mho/m)
μ	: Permeability (Henry/m)
δ	: Standard depth of penetration (mm)
θ	: Phase angle (Degree)
Δ	: Area of Triangular element.

1. 序 論

最近 原子力發電所의 蒸氣發生器 各種 熱交換配管은 1차 壓力 境界面積의 50% 이상을 점유하는 중요 부위로서 傳熱管의 建全性 維持는 原子力發電所의 安全性을 確保하는데 매우 긴요하다.

Austenite Stainless 鋼을 많이 使用하는 蒸

氣發生器 傳熱管의 缺陷식별, 크기 등을 판단하는데 涡電流探像 (Eddy Current Test, 이하 ECT)^{1)~4)}이 널리 利用된다.

ECT는 交流가 流れる 檢查 Coil을 導体에 接近시켜서 電磁誘導現象으로 涡電流를 發生시켰을때 涡電流의 流向은 導体의 物理的特性에 따라 變化하고 이 變化는 Coil Impedance를 變化시키므로 Coil Impedance의 變化를 測定하여 試驗體의 物理的特性을 檢查하는 方法이다.

Coil Impedance를 解析하는 方法에는 Green Function 等에 의한 微分方程式이나 Rayleigh-Ritz Method 等에 의한 解析的 方法과 有限要素法 (F. E. M) 等에 의한 数值解析法이 있는데 여기서는 軸對稱 圓筒坐標系에 있어서 有限要素法^{5) 6) 10)}에 의한 磁界領域을 三角形 要素로 分割하고 각 三角形要素에 대한 全體 Matrix方程式으로 부터 Vector Potential을 구하고 Coil Impedance를 해석하였다.

1964年 Libby^{1) 2)}는 缺陷信号의 位相角을 測定하여 缺陷의 깊이를 評價하는 位相分析法 (phase Analysis Method)에 관한 理論을 제시하였으며 이에 관한 많은 연구가 이루어져 왔다.

本 研究에서 缺陷信号의 信号強度는 缺陷의 부피에만 의존하는 것으로 알려져 있을 뿐 缺陷信号의 평가기준이 없어 실제 ECT 장비를 가지고 各種 缺陷形態에 따른 信号強度와 位相角과의 相互關係를 實驗을 통해 考察하였다.

2. 理論解析

2-1 에너지 況函数 (Energy Functional)

電磁界의 Maxwell 方程式은

$$\nabla \times \mathbf{E} = -\frac{\partial \mathbf{B}}{\partial t}$$

$$\nabla \times \mathbf{H} = \mathbf{J} + \mathbf{J}_t \quad \dots \dots \dots \quad (1)$$

$$\nabla \cdot \mathbf{B} = 0$$

$$\mathbf{J}_t = \sigma \mathbf{E}$$

로 표현되며 또한, 磁束密度 \mathbf{B} , 磁氣 Vector Potential \mathbf{A} , 磁界의 세기 \mathbf{H} 의 상호관계는

$$\begin{aligned} \mathbf{B} &= \mu \mathbf{H} \\ \mathbf{B} &= \nabla \times \mathbf{A} \end{aligned} \quad \dots \dots \dots \quad (2)$$

이다. 式(2)의 透磁率 μ 를 線型이라는 가정하에 式(2)를 式(1)에 代入하여 정리하면 정상상태에서

$$\nabla^2 \mathbf{A} = -\mu \mathbf{J} + j \omega \mu \mathbf{A} \quad \dots \dots \dots \quad (3)$$

인 Poisson 方程式이 된다. 따라서 電磁界 문제에 있어서의 解는 式(3)을 만족하는 Vector Potential \mathbf{A} 를 구하는 것으로 요약된다.

일반적으로 電磁界에 적용되는 에너지 汎函数

$$F = \int_R \left\{ \frac{1}{2\mu} (\nabla \times \mathbf{A}) \cdot (\nabla \times \mathbf{A}) + j \frac{\omega}{2\partial} \mathbf{A}^2 - \mathbf{j} \cdot \mathbf{A} \right\} dR \quad \dots \dots \dots \quad (4)$$

로 표시되며 축대칭 원통좌표계에서 에너지 汎函数

$$F = \int_R \left\{ \frac{1}{2\mu} \left[\left(\frac{\partial A}{\partial Z} \right)^2 + \left(\frac{\partial A}{\partial r} \right)^2 + \frac{2}{r} A \frac{\partial A}{\partial r} + \frac{A^2}{r^2} \right] + j \frac{\omega}{2\rho} A^2 - \mathbf{j} \cdot \mathbf{A} \right\} r dr dz \quad \dots \dots \dots \quad (5)$$

로 된다 式(5)에서 $\frac{1}{\mu} = \nu(s, r, z)$ 的 磁氣抵抗率은 위치와 자속밀도의 함수이며 磁束密度은 비선형으로서 $\mathbf{B} = B(\nu, r, z)$ 인 함수가 되므로 한개의 偏角成分 (θ 方向)에 대한 반경 r 인 해석 영역 R 에서 式(5)의 에너지 汎函数는

$$\begin{aligned} F &= \int_R \left(\int_0^B \nu b db \right) r dr dz + j \frac{\omega}{2\rho} \int_R A^2 r dr dz \\ &\quad - \int_R \mathbf{j} \cdot \mathbf{A} A r dr dz \quad \dots \dots \dots \quad (6) \end{aligned}$$

로 되며 式(6)의 에너지 汎函数가 極值를 갖기

위한 A 의 값은

$$\sum \frac{\partial F}{\partial A} = 0 \quad \dots \dots \dots \quad (7)$$

의 조건을 만족하는 A 의 값이 된다.

2-2 解析函数의 近似化

有限要素法은 n 個의 節點(node)으로 연결되어 있는 유한개의 要素(element)로 해석 영역을 세분화하여 관계영역의 근사해를 구하는 것이다.

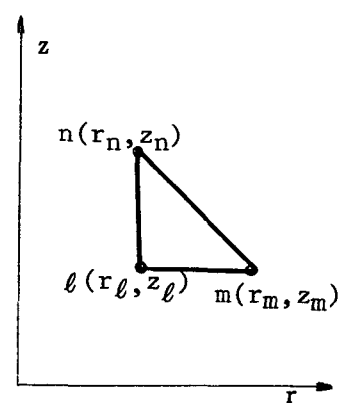
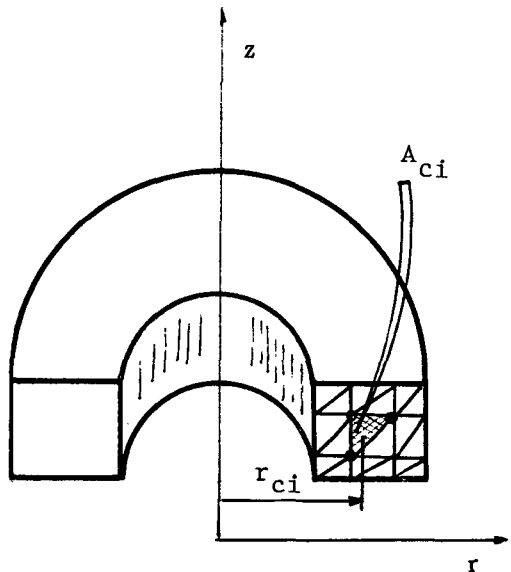


Fig. 1 Triangular element

그림 (1)에서 삼각형요소의 각정점에서 Vector Potential에 대한 에너지는 式(6)으로부터

$$W = W_1 + W_2 + W_3 \quad \dots \quad (8)$$

$$W_1 = \int_R \left(\int_0^B \nu b db \right) r dr dz \quad \dots \quad (9)$$

$$W_2 = \int_R \left(j \frac{\omega^2}{2\rho} A^2 \right) r dr dz \quad \dots \quad (10)$$

$$W_3 = \int_R (-J \cdot A) r dr dz \quad \dots \quad (11)$$

이면 전 영역에서 ℓ 成分의 Vector Potential A_ℓ 에 대한 成分은 式(8)에서

$$\begin{aligned} \sum_i \frac{\partial W}{\partial A_i} &= \sum_i \frac{\partial}{\partial A_i} (W_1 + W_2 + W_3) = 0 \\ \sum_i \frac{\partial W}{\partial A_i} &= A_\ell \sum_i \nu \left\{ \frac{r_c}{2\Delta} [(Z_m - Z_n)^2 + (r_n - r_m)^2] + \frac{1}{3} (Z_m - Z_n) + \frac{\Delta}{18r_c} \right\} \\ &+ A_m \sum_i \nu \left\{ \frac{r_c}{2\Delta} [(Z_m - Z_n) (Z_n - Z_\ell) + (r_n - r_m) (r_\ell - r_n)] + \frac{1}{6} (Z_n - Z_\ell) + \frac{1}{6} (Z_m - Z_n) + \frac{\Delta}{18r_c} \right\} \end{aligned}$$

$$\begin{aligned} A_n \sum_i \nu \left\{ \frac{r_c}{2\Delta} [(Z_m - Z_n) (Z_\ell - Z_m) + (r_n - r_m) (r_m - r_\ell)] + \frac{1}{6} (Z_\ell - Z_m) + \frac{1}{6} (Z_m - Z_n) + \frac{\Delta}{18r_c} \right\} + (j \frac{\omega}{18\rho} \sum_i \gamma_c \Delta) \cdot (A_\ell + A_m + A_n) - \frac{1}{6} \sum_i J \cdot r_c \Delta \quad \dots \quad (12) \end{aligned}$$

따라서 m, n 에 대해서도 式(12)와 같은 방법으로 하여 全 Matrix를 구성하면

$$\nu [M] [A] + K^2 [N] [A] = [J] \quad \dots \quad (13)$$

여기서

$$\begin{aligned} M_{11} &= \frac{r_c}{2\Delta} [(Z_m - Z_n)^2 + (r_n - r_m)^2] + \frac{1}{3} (Z_m - Z_n) + \frac{\Delta}{18r_c} \end{aligned}$$

(M_{22}, M_{33} 는 l, m, n 차례로 代入)

$$M_{12} = M_{21}$$

$$\begin{aligned} &= \frac{r_c}{2\Delta} [(Z_m - Z_n) (Z_n - Z_\ell) + (r_n - r_m) (r_\ell - r_n)] \\ &+ \frac{1}{6} (Z_m - Z_n) + \frac{1}{6} (Z_n - Z_\ell) + \frac{\Delta}{18r_c} \end{aligned}$$

$$M_{23} = M_{32}$$

$$\begin{aligned} &= \frac{r_c}{2\Delta} [(Z_\ell - Z_m) (Z_n - Z_\ell) + (r_m - Z_\ell) (r_\ell - r_m)] \\ &+ \frac{1}{6} (Z_n - Z_\ell) + \frac{1}{6} (Z_\ell - Z_m) + \frac{\Delta}{18r_c} \end{aligned}$$

$$M_{13} = M_{31}$$

$$\begin{aligned} &= \frac{r_c}{2\Delta} [(Z_m - Z_n) (Z_\ell - Z_m) + (r_n - r_m) (r_\ell - r_n)] \\ &+ \frac{1}{6} (Z_\ell - Z_m) + \frac{1}{6} (Z_m - Z_n) + \frac{\Delta}{18r_c} \end{aligned}$$

$$N = \frac{\Delta r_c}{18} \begin{bmatrix} 2 & 1 & 1 \\ 1 & 2 & 1 \\ 1 & 1 & 2 \end{bmatrix}, \quad K^2 = j \frac{\omega}{\rho} \circ |다.$$

2-3 Coil Impedance 解析

式(13)로부터 반경 r_{ci} 되는 점의 Vector

Potential A 가 구해지면 Coil 전류 I_s 가 흐를 때 Circular loop의 Coil Impedance

$$Z_\ell = - \frac{j 2\pi\omega r_{ci} A_{ci} (N_s \Delta_\ell)}{I_s} \quad \dots \quad (14)$$

이고 단면이 n 개의 삼각형 유한요소로 분할된 Total Coil Impedance Z_c 는

$$Z_c = - \frac{j 2\pi\omega N_s}{I_s} \sum_{\ell=1}^n r_{ci} A_{ci} \Delta_\ell$$

$$N_s I_s = J \circ |므로$$

$$Z_c = - \frac{j 2\pi\omega J}{I_s^2} \sum_{\ell=1}^n (r_{ci} \Delta_\ell) A_{ci} \quad \dots \quad (15)$$

Eddy Current Coil System에서 두 Coil의 전류방향이 반대방향으로 흐르므로 Probe Coil Impedance

$$Z_p = Z_a + Z_b$$

$$Z_p = j 2 \pi \omega \left[\frac{J_{sa}}{I_s^2 b} \sum_{i=1}^{nb} (r_{ci} \Delta_i) A_{ci} - \frac{J_{sb}}{I_s^2 a} \sum_{i=1}^{na} (r_{ci} \Delta_i) A_{ci} \right] \quad (16)$$

두 Coil 이 구조가 같고 같은 전류가 흐르면

$$Z_p = \frac{j 2 \pi \omega J}{I_s^2} \left[\sum_{i=1}^{nb} (r_{ci} \Delta_i) A_{ci} - \sum_{i=1}^{na} (r_{ci} \Delta_i) A_{ci} \right] \quad (17) \text{ 이다.}$$

2-4 缺陷크기와 信号強度

신호강도 (E)는 결함이 없는 경우 전기장분포 (r, θ, z)을 결합체적으로 적분한 量에 비례한다고 가정하면

$$E \propto \int_{D \cdot v} \varphi(r, \theta, z) dv \quad (18)$$

로 표시되며 또 Sensor Coil 이 결합의 길이에 비해 충분히 길고 축대칭이면 전기장이 r 만의 함수로 되어 지수함수적으로 감소한다고 하면

$$\varphi(r) = \exp \left[-\left(\frac{R_i}{a_a} + \frac{r-R_i}{a} \right) \right] \quad (19)$$

a, a_a 는 공기, 시험체의 전자적 감쇄정수 R_i 는 관내반경과 Sensor Coil 외 반경의 차이며 실제로 전기장은 지수함수적 분포를 하지 않기 때문에 이를補正하기 위하여 a 가 관두께 함수로 정하면

$a = a_{(t)}$ 로 되며 따라서 信号強度 (E)는

$$E = K \int_{D \cdot v} \exp \left(-\left(\frac{R_i}{a_a} + \frac{r-R_i}{a_{(t)}} \right) \right) dv \quad (20)$$

式(20)을 해석적적분 또는 수치적분에 의해 실측치를 이용하여 a_a, a_t, K 값을 구하면

$$a_a = 1.99 \text{ mm}$$

$$a_t = 1.83 (t - 1.08)^{-0.48} \text{ mm}$$

$$K = \begin{cases} 4.23 & \dots E_t \\ 8.66 & \dots S_v \\ 9.64 & \dots P_t \end{cases} \dots [\text{volt/m}^2] \text{ 을 얻는다.} \quad (21)$$

3. 實驗

3-1 實驗裝置

실험장치는 원자력발전소 증기발생기 검사를 위하여 한국에너지연구소가 미국 Zetec 社로부터 도입한 MIZ-18 Digital Acquisition System 을 사용하였다.

MIZ-18 System은 Multifrequency ECT 장비로서 Computer program에 의해 Data 수집 평가를 실시하여 Data 를 Digital 化하여 처리 하므로 잡음신호가 비교적 적으며 신호진폭은 1/100 volt 단위로 측정할 수 있고 신호위상각은 Degree 단위로 측정할 수 있다.

검사 Coil은 内挿型이면서 自己比較型 차동 Coil로서 Coil 외경은 0.65 inch (16.5m/m)이며 Photo 1 은 실험장치의 전경을 나타낸다.

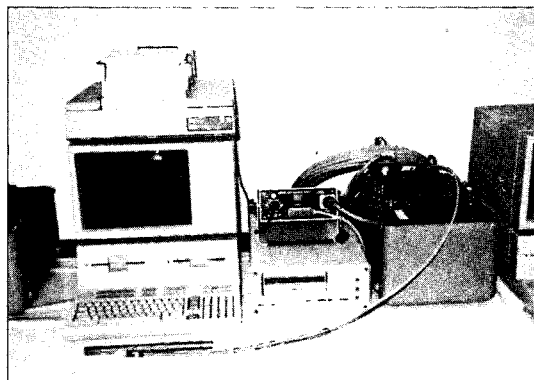


Photo. 1 Experimental Setup

3-2 試驗片

시험편은 ASME sec. V 1983에 따라 그림 2) 3)과 같이 방전가공 (E. D. M) 과 N. C 선반으로 제작하였으며 시험판의 재질은 원자력발전소의 증기발생기 전열판에 많이 사용되는 Austenite 계 STS 304로서 비자성체이며 비저항은 $72 \times 10^{-8} \Omega \text{ -cm}$ 이며 관의 규격은 외경 $22.2\%_{\text{m}}$ 두께 $2.2\%_{\text{m}}$ 이며 fill-factor η

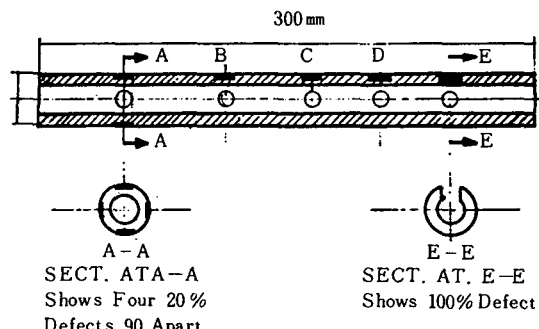


Fig. 2 Calibration Standard Test Piece

$$\eta = \frac{(\text{Coil 外徑})^2}{(\text{管內徑})} = 0.86$$

이 며 표(1)은 인공결함의 크기를 나타내며 사진(2)는 실험용 시험편 전경이다.

Table 1. Size of Artificial Defect

Size of Defect Kinds of Defect	Depth in % of Wall	Unit: mm	
		L (Length)	b (Width)
Defect of Ring Type (P_t)	50	Four Flat-bottomed Drill Hole Radius $r=0.8, 1.0, 1.2, 1.8$	
Defect of Notch Type (S_y)	20	$L=10, b=1$	
	50	$L=5, 10, 15, b=0.5, 1.0, 1.5$	
	80	$L=10, b=1$	
Defect of Decreasing Thickness (E_t)	20	$L=20$	
	50	$L=5, 10, 15, 20$	
	80	$L=15$	
Defect of Groove (E_g)	30	$b=3, 2$	
	50	$b=3, 2$	
	80	$b=3, 2$	

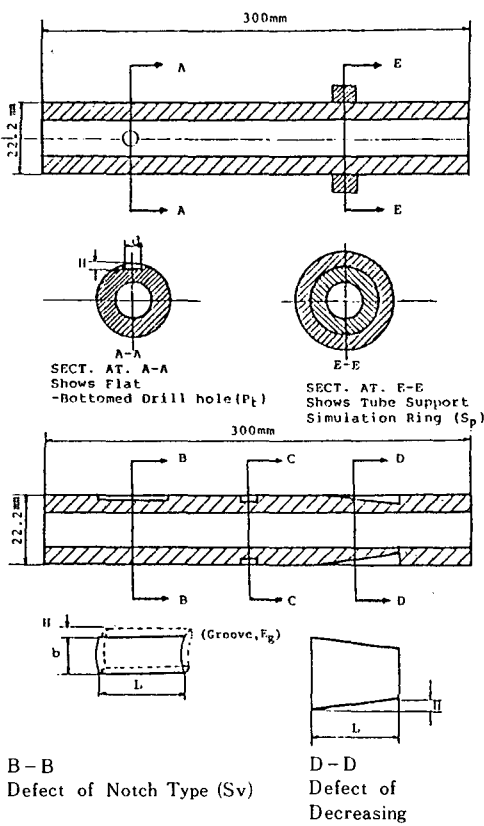


Fig. 3 Test Pieces for Experiment

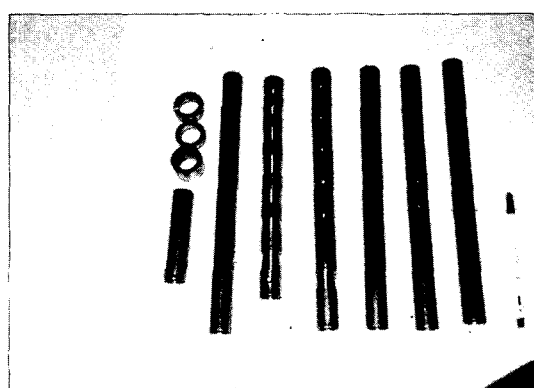


Photo 2. A View of Test Pieces for Experiment

4. 실험방법

실험은 ASME Section XI, Inservice Inspection, Appendix IV, "Eddy Current Test Method for Nonferro Magnetic Heat Exchanging Tube"의 절차에 따라 수행하였다.

ECT 장비는 그림(4)와 같은 Bridge 회로로 되어있고 측정장치의 Block Diagram은 그림(5)와 같이 구성하였으며 표준시험편으로 검사 System에 대한 Calibration을 실시하고 같은 조건하에서 실험용 시험편의 인공결함에 대한 결합신호의 신호강도(E)와 위상각(θ)를 측정하였다. 그림(6)은 MIZ-18 system에 의한 결합신호유형의 예로서 신호강도는 Lissajous 도형 궤적상의 peak-to-peak 값으로 구해지고 위상각은負의 수평軸으로부터의 角으로 표시되는데 이들은 자동적으로 기록하게 된다.

시험주파수는 (시험편두께) / (표준 침투깊이) (T/σ)의 값에 따라서 변화시켰으며 각각의 경우에 대한 T/σ 값은 표(2)에 나타냈다.

Table. 2 Selection of Test Frequency

T/δ	Frequency (KHZ)
1.0	50
1.2	70
1.4	100
1.6	130
1.8	170
2.0	200

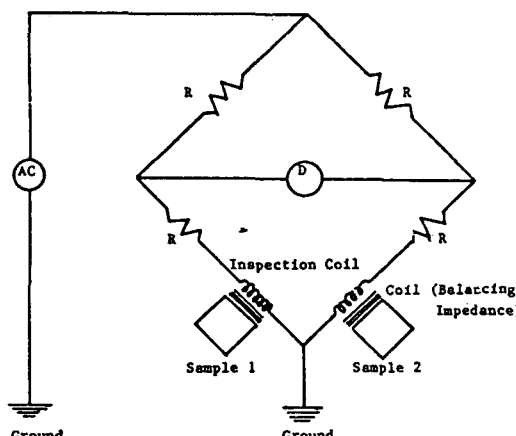


Fig. 4 Bridge Circuit of E.C.T. Equipment

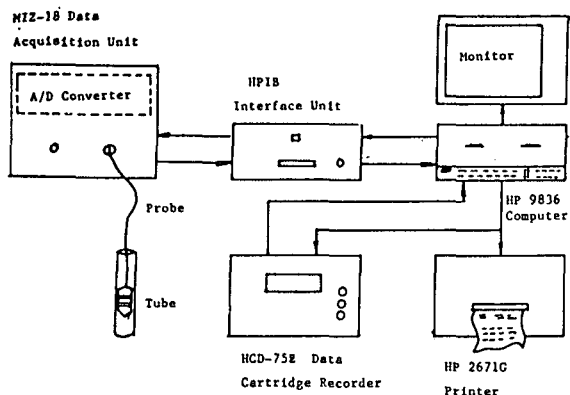


Fig. 5 Block Diagram of Experimental Set up

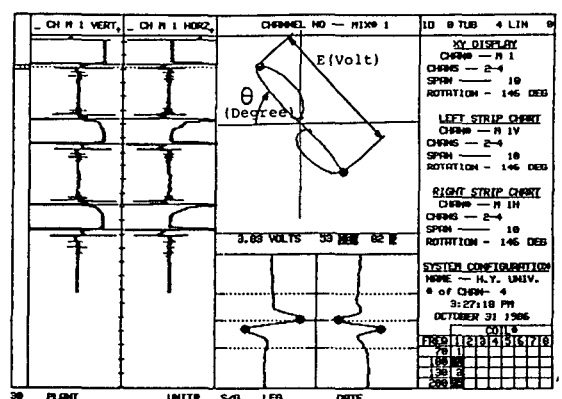


Fig. 6 Example of Defect Signal Waveform

5. 實驗結果 및 考察

그림(9)는 標準試驗片에 試驗周波数 (100–200 KHz)의 混合周波数를 인가시켰을때 缺陷信号 및 그 波型을 나타낸 것이고 그림(10)은 그의 Calibration Curve이다.

그림(11)은 信号強度의 實측치와 계산치의 비교를 나타내며 式(19)의 實驗식이 넓은 범위에 걸쳐서 實驗值와 일치함을 알 수 있다. 그리고 ECT의 出力은 变化 가능하므로 式(20)의 K 값의 절대치는 중요하지 않으나 缺陷의 面形태 (E_t), 線形태 (S_y), 點形태 (P_t)로 바뀜에 따라 K 값이 증가함을 알 수 있다.

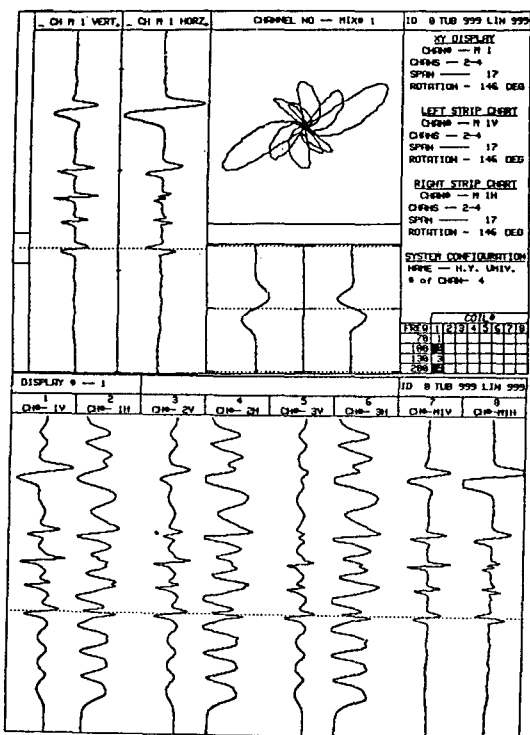
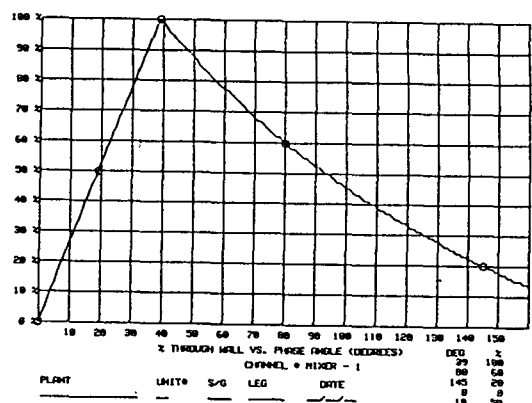


Fig. 9 Defect Signal Waveforms and Strip Chart in Calibration Standard Tube

그림 (12)~(14)는 缺陷크기에 따른 信号強度와 位相角의 變化를 나타내며 缺陷길이와 깊이가 증가함에 따라서 信号強度는 증가하지만 缺陷길이 만은 어느 이상되면 포화되어 信号強度는 최대값을 갖는다.

그림 (15)는 信号源의 種類와 位置에 따라서 特定周波数에서 信号強度가 最大가 되는 周波数가 存在함을 보여 주는데 이는 試驗周波数選定이나 信号를 解析함에 있어 주요한 인자라 생각된다.



	DEG-%								
0	0	20	53	40	99	60	77	80	60
1	3	21	55	41	98	61	77	81	59
2	5	22	58	42	96	62	76	82	58
3	8	23	60	43	95	63	75	83	58
4	11	24	63	44	94	64	74	84	57
5	13	25	65	45	93	65	73	85	56
6	16	26	68	46	92	66	72	86	55
7	19	27	70	47	91	67	71	87	55
8	21	28	73	48	90	68	70	88	54
9	24	29	75	49	89	69	69	89	53
10	27	30	78	50	88	70	68	90	52
11	29	31	80	51	87	71	67	91	52
12	32	32	83	52	85	72	67	92	51
13	34	33	85	53	84	83	66	93	50
14	37	34	88	54	83	74	65	94	50
15	40	35	90	55	82	75	64	95	49
16	42	36	93	56	81	76	63	96	48
17	45	37	95	57	80	77	62	97	47
18	47	38	98	58	79	78	62	98	47
19	50	39	99	59	78	79	61	99	46

Fig. 10 Calibration Curve
(Mix Channel 100 - 200 KHZ)

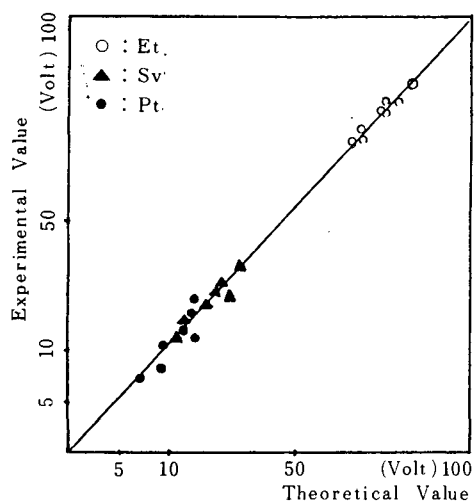


Fig. 11 Comparision between Theoretical Value and Experimental Value of Signal Intensity

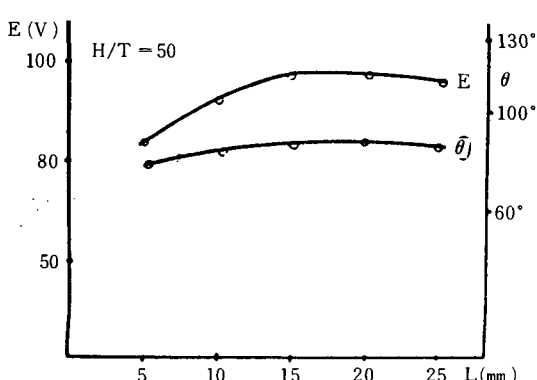
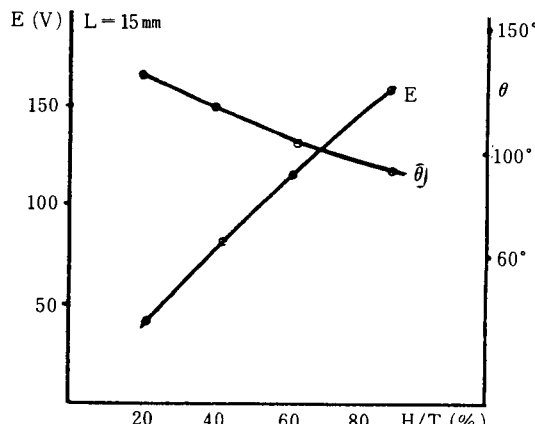


Fig. 12 Defect Signal Intensity of Decreasity Thickness (E_t)

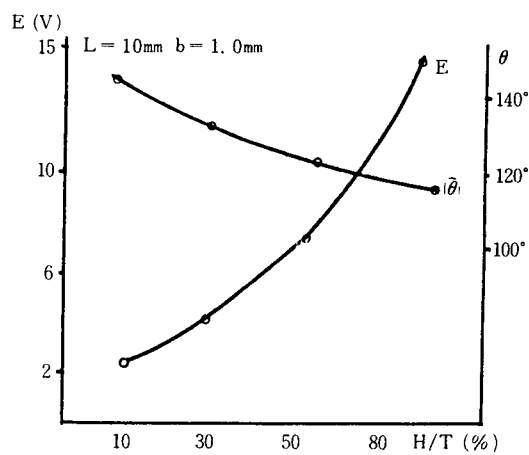


Fig. 13 Defect Signal Intensity of Notch Type (Sv)

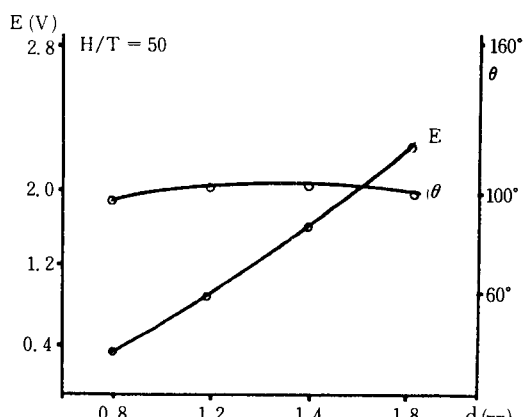


Fig. 14 Defect Signal Intensity of Ring Type (Pt)

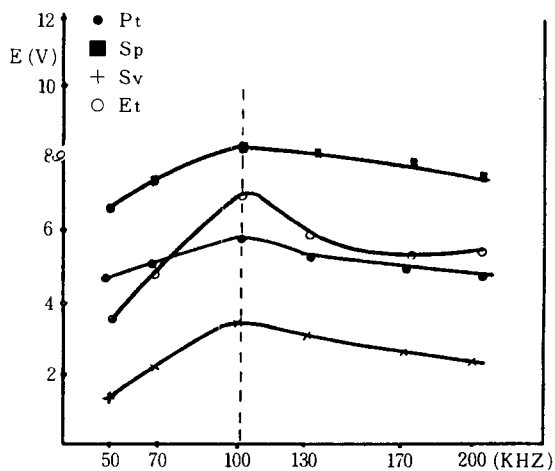


Fig. 15 Characteristics of Frequency

6. 結 論

1. 本研究에 사용된 Probe로試驗한結果
缺陷의 크기와 信号強度(E)의 상관관계를
定量적으로 파악이 가능했으며 缺陷의 크기
가 증가함에 따라 信号強度는 증가하지만
缺陷의 길이만은 어느 이상되면 포화되어
일정한 최대값을 갖는다.
2. 信号源의 位置와 缺陷의 形態에 따라 信号強度가 최대가 되는 周波数는 약 100 K
Hz 였다. 앞으로 Coil Impedance에 대한 보
다 정확한 理論的 解析을 토대로 결함의 크
기와 ECT 신호강도와의 관계를 정확하게 파
악하므로서 결함신호 판별의 신뢰성을 향상
시키고 ECT Probe의 국산화 설계에 접근
해 가는것이 研究課題 라 하겠다.

参考文獻

- 1) Libby H. L., Introduction to Electromagnetic Nondestructive Test Methods Willey-Interscience. 1971
- 2) Dan G. J. and H. L. Libby ; Steam Generator and Condenser Tubing Nondestructive Inspection. Inst. Mech. Eng. Cont. Publ. 8 1974
- 3) McMaster, R. C. (Ed.) ; Nondestructive Testing Hand Book II. Ronald Press Co. (1959)
- 4) 三好, 前田 :ステンレス鋼傳熱管の
供用期間中 檢査のための 涡電流探傷試験
非破壊検査 28-11,(1979).
- 5) 尾上守夫, 市用初男 ;渦流検査用
コイルに關する考察, 非破壊検査
第6卷 5號 (1967).
- 6) Zetec. Inc. Data Analysis of

Nonferromagnetic Tubing Eddy Current Inspection Results. 1981

- 7) A. L. Lucero, "Level III Study Guide" Eddy Current Method ASNT-SG-ET3 - 83
- 8) O. C. Zienkiewicz, "The Finite Element Method in Engineering Science" McGraw-Hill. 1971
- 9) E. Guancial, S. Das Gupta ; A Finite element Computer Program for 2-D and Axisymmetric Magnetic Field Problems IE (I) Journal -EL 1978 Vol. 58
- 10) K. C. Rockey, H. R. Evans ; DW Griffiths, D. A. Nethercot, The Finite Element Method, pp. 96-196
- 11) Burrows M. L., Theory of Eddy-Current Flaw Detection" Ph. D. Dissertation, University of Michigan . 1964.
- 12) D. J. Hagemair, "Application of Eddy Current Impedance Testing" Material Evaluation. pp. 1035-1042 July 1984

* 본 논문의 실험에 도움을 많이 주신 한국 에너지 연구소 박대영 비파괴 실장님과 ECT연구실의 여러연구원들에게 깊이 감사드린다.